

Т.З. Мулдашев, В.Е. Павлов, Я.А. Тейфель

ОБ ОПРЕДЕЛЕНИИ АЭРОЗОЛЬНОЙ ОПТИЧЕСКОЙ ТОЛЩИ РАССЕЯНИЯ ПО ЯРКОСТИ НЕБА В ВИДИМОЙ ОБЛАСТИ СПЕКТРА

Анализируются результаты численного решения уравнения переноса лучистой энергии в атмосфере с трехмодальным распределением частиц по размерам. Получены аппроксимационные формулы, позволяющие определять оптическую толщину рассеяния из данных наблюдений абсолютных индикатрис яркости.

При решении многих практических задач актинометрии и атмосферной оптики часто возникает потребность в оперативном определении оптической толщины атмосферы τ и ее составляющих, обусловленных чистым рассеянием и поглощением света, в дневных условиях. Такая потребность в известной мере диктуется повсеместным возрастанием замутненности воздуха. Суммарная τ вне полос молекулярного поглощения может быть определена из измерений интенсивности прямой солнечной радиации коротким методом Бугера. Однако после выделения рэлеевской составляющей τ_R ее последующее разделение на компоненты

$$\tau = \tau_R + \tau_d + \tau_n, \quad (1)$$

где τ_d и τ_n — толщины аэрозольного рассеяния и поглощения, невозможно без привлечения дополнительной информации о рассеивающих свойствах атмосферы. Источником последней могут служить данные наблюдений абсолютных индикатрис яркости $f(\phi)$ безоблачного неба в солнечном альмукантаре (ϕ — угол рассеяния). В настоящей статье на основе решения уравнения переноса лучистой энергии анализируется предложенный ранее достаточно простой метод определения τ_d , базирующийся на измерениях $f(\phi)$ [1], и приводятся рекомендации по его практическому использованию в видимой области спектра.

Следуя Е.В. Пясковской-Фесенковой [2], представим абсолютную наблюданную индикатрису яркости как

$$f(\phi) = f_R(\phi) + f_d(\phi) + f_{2q}(\phi), \quad (2)$$

где $f_R(\phi)$ и $f_d(\phi)$ — молекулярная и аэрозольная индикатрисы однократного рассеяния, а $f_{2q}(\phi)$ — добавка, обусловленная многократным рассеянием и отражением света от подстилающей поверхности с альбедо q . Если предположить, что световой поток, однократно рассеянный частицами аэрозоля в заднюю полусферу, примерно равен разности потоков многократно рассеянного излучения в переднюю и заднюю полусферы, т.е.

$$2\pi \int_{\pi/2}^{\pi} f_d(\varphi) \sin \varphi d\varphi \approx 2\pi \int_0^{\pi/2} f_{2q}(\varphi) \sin \varphi d\varphi - 2\pi \int_{\pi/2}^{\pi} f_{2q}(\varphi) \sin \varphi d\varphi, \quad (3)$$

то достаточно легко прийти к следующему соотношению [1]:

$$\tau_d \approx \tau_d' = 2\pi \int_0^{\pi/2} f(\varphi) \sin \varphi d\varphi - 2\pi \int_{\pi/2}^{\pi} f(\varphi) \sin \varphi d\varphi, \quad (4)$$

позволяющему производить определения аэрозольной толщины рассеяния τ_d из наблюдений $f(\phi)$. Этот метод обладает рядом практических преимуществ по сравнению с другими [2]: результаты определения τ_d не зависят от аэрозольной стратификации атмосферы [3], от наличия слабого поглощения [3, 4] и от альбедо подстилающей поверхности [1], если ее отражательные характеристики не слишком далеки от ламбертовых. Вопрос же о том, насколько предположение (3), а следовательно, и формула (4) соответствуют действительности, может быть решен только на основании теоретических расчетов $f(\phi)$ при разумном задании аэрозольной индикатрисы рассеяния $f_d(\phi)$.

При построении аэрозольной модели для расчетов $f(\phi)$ при разных длинах волн и различной замутненности мы стремились к тому, чтобы она адекватно отражала оптические свойства реальной атмосфе-

ры. Согласно [5] оптические характеристики атмосферной дымки достаточно надежно описываются с помощью трех логнормальных распределений частиц по размерам, включающих ядра Айткена a , субмикронный b и грубодисперсный c аэрозоли. Выбор параметров распределений и весовые соотношения между фракциями можно осуществить, воспользовавшись найденной из наблюдений средней аэрозольной функцией рассеяния [6] в области спектра $\lambda = 0,55$ мкм. С помощью таблиц [7] было установлено, что эта функция в практически наблюдаемом диапазоне углов $2^\circ \leq \phi \leq 160^\circ$ наилучшим образом аппроксимируется суммой трех индикаторов, соответствующих параметрам распределений $\sigma^2 = 0,3$ и $a' = -1,0$ (ядра Айткена, 15%), $\sigma^2 = 0,4$ и $a' = 0,4$ (субмикронная фракция, 60%) и $\sigma^2 = 0,5$ и $a' = 0,8$ (грубодисперсная фракция, 25%) с показателем преломления $n = 1,5$ (рис. 1). Здесь σ — дисперсия логарифмов радиусов; $a' = \ln \rho_0$; $\rho_0 = \frac{2\pi r_0}{\lambda}$; r_0 — средний геометрический радиус частиц.

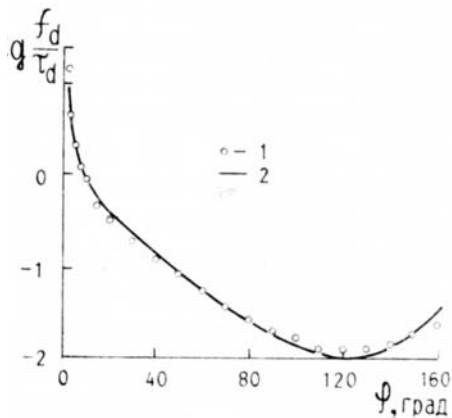


Рис. 1. Аэрозольная индикаторы рассеяния по данным наблюдений (1) и ее аппроксимация с помощью трехмодального распределения частиц по размерам (2)

Оптические толщи, соответствующие каждой из вышеперечисленных групп частиц τ_{da} , τ_{db} и τ_{dc} , приведены в табл. 1. В ней же указаны суммарная аэрозольная τ_d и рэлеевская τ_R оптические толщи. Все аэрозольные толщи относятся к условиям высокой атмосферной прозрачности при факторе мутности $T = \frac{\tau_R + \tau_d}{\tau_R}$ в области спектра $\lambda = 0,55$ мкм, равном 2. В работе рассмотрены также случаи $T = 3$ и $T = 4$, эквивалентные умеренной и значительной замутненности атмосферы.

Таблица 1

| λ , мкм | τ_{da} | τ_{db} | τ_{dc} | τ_d | τ_R |
|-----------------|-------------|-------------|-------------|----------|----------|
| 0,40 | 0,0314 | 0,0599 | 0,0231 | 0,1144 | 0,3631 |
| 0,55 | 0,0147 | 0,0588 | 0,0245 | 0,0980 | 0,0980 |
| 0,65 | 0,0096 | 0,0549 | 0,0249 | 0,0894 | 0,0500 |

Расчеты $f(\phi)$ проводились посредством численного решения уравнения переноса излучения для плоскопараллельной модели атмосферы:

$$\mu \frac{\partial T}{\partial t} + I + \frac{\omega}{4\pi} \int_0^{2\pi} d\psi' \int_{-1}^1 g(\psi') I(t, \mu', \psi') d\mu' + \frac{\omega}{4} S g(\phi) e^{-t\zeta};$$

$$I(0, \mu, \psi) = 0, \mu > 0; \quad (5)$$

$$I(\tau, \mu, \psi) = \frac{q}{4\pi} \int_0^{2\pi} d\psi' \int_{-1}^1 I(\tau, \mu', \psi') \mu' d\mu' + q S e^{-\tau\zeta}, \mu < 0,$$

где $I(t, \mu, \psi)$ — интенсивность рассеянного излучения на оптической глубине t ; $\mu = \cos\Theta$ и ψ — сферические координаты направления; $g(\phi)$ — индикаторы однократного рассеяния, связанная с $f_1(\phi)$ как

$$g(\zeta) = \frac{4\pi}{\tau} f_1(\zeta); \quad (6)$$

ω — альбедо однократного рассеяния (в нашем случае полагалось равным единице); $\zeta = \cos Z_0$; Z_0 — зенитное расстояние Солнца; πS — спектральная солнечная постоянная.

Для решения (5) был применен метод сферических гармоник в модификации [8], позволяющей его эффективное использование для численного решения задач переноса излучения в средах с высокой анизотропией рассеяния. С помощью этого алгоритма производились расчеты интенсивности диффузного излучения в солнечном альмукантаре $J(\tau, \zeta, \psi)$, связанной с индикаторной яркости следующим соотношением:

$$f(\zeta) = \frac{I(\tau, \zeta, \psi)}{\pi S \sec Z_0 \exp(-\tau \sec Z_0)}, \quad (7)$$

причем

$$\cos\varphi = \zeta^2 + (1 - \zeta^2) \cos\psi. \quad (8)$$

Последнее соотношение накладывает ограничение на возможности определения индикаторы $f(\varphi)$ в области больших углов рассеяния: при $\psi = 180^\circ$ максимальный угол рассеяния $\varphi_{\max} = 2Z_0$. Обычно плоскопараллельное приближение к реальной атмосфере считается допустимым при $\cos Z_0 \geq 0,2$, что соответствует $\varphi_{\max} \sim 157^\circ$. Если $Z_0 \leq 45^\circ$, то величина φ_{\max} не превышает 90° и вычисления интеграла в (4) оказываются невозможными. Анализ наблюдений и расчетов функций $f(\varphi)$ свидетельствуют о том, что вычисления этого интеграла с приемлемой точностью могут быть выполнены лишь при наличии $f(\varphi)$ С углами φ_{\max} не менее 120° . Таким образом, практическое использование соотношения (4), исходя из соображений чисто геометрического характера и учета применимости плоскопараллельного приближения, ограничено значениями $\sec Z_0$ (или воздушных масс), равными $\sim 2-5$.

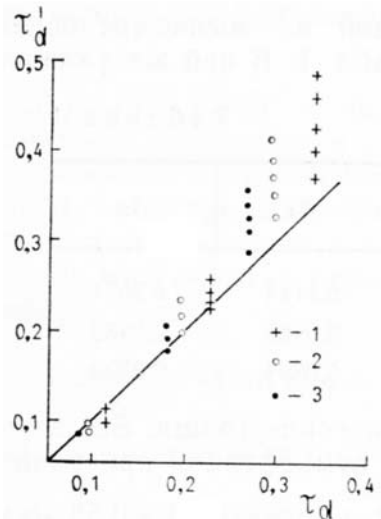


Рис. 2. Значения τ'_d функции τ_d для 0,4 мкм (1), 0,55 мкм (2) и 0,65 мкм (3)

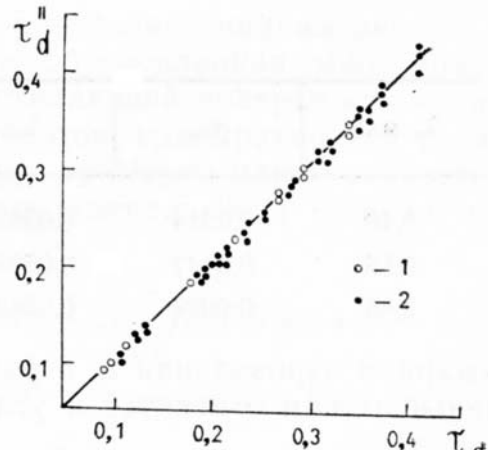


Рис. 3. Значения τ''_d соответствующие исходным (1) и дополнительным (2) вариантам распределений частиц по размерам, в функции τ_d

На рис. 2 представлены результаты определения величин по формуле (4) для различных значений $\cos Z_0$ в зависимости от истинных значений τ_d , принятых в расчетах $f(\varphi)$. Прямая линия проведена под углом 45° . Вертикальное распределение точек снизу вверх при фиксированных τ_d четко соответствует уменьшению $\cos Z_0$. Из рисунка видно, что использование соотношения (4) для определения аэрозольной толщины рассеяния лишь при $-0,15$. При меньших τ_d формула (4) приводит к заниженному, а при больших — к завышенному результатам.

Анализ расчетных данных приводит к следующему соотношению, связывающему величины τ'_d и τ_d :

$$\tau_d \approx \tau'_d = \frac{-(\delta + \beta \sec Z_0) + \sqrt{(\delta + \beta \sec Z_0)^2 + 4(\gamma + \varepsilon \cos Z_0)\tau'_d}}{2(\gamma + \varepsilon \sec Z_0)}. \quad (9)$$

Значения параметров δ , β , γ , ε приведены в табл. 2.

Таблица 2

| $\lambda, \text{ мкм}$ | δ | β | γ | ε |
|------------------------|----------|---------|----------|---------------|
| 0,40 | 0,835 | -0,0035 | 0,392 | 0,260 |
| 0,55 | 0,822 | -0,0040 | 0,320 | 0,310 |
| 0,65 | 0,800 | -0,0100 | 0,187 | 0,320 |

Результаты сопоставления величин τ''_d , вычисленных с помощью соотношений (4) и (9), со значениями τ_d , принятymi в расчетах $f(\phi)$, представлены на рис. 3.

Чтобы судить о перспективах практического использования соотношений (4) и (9), необходимо оценить влияние возможных вариаций реальной индикатрисы рассеяния на сходимость τ''_d и τ_d . Вообще говоря, такие вариации уже были заложены в расчеты зависимости индикатрисы рассеяния от длины волны и фактора мутности. Так, коэффициенты асимметрии рассеянных световых потоков

$$\Gamma_1 = \frac{\int\limits_0^{\pi/2} f_1(\varphi) \sin \varphi d\varphi}{\int\limits_{\pi/2}^{\pi} f_1(\varphi) \sin \varphi d\varphi} \quad (10)$$

принимали крайние значения 1,47 ($\Gamma_d = 8,79$) при $T = 2$ в синей области спектра и 5,28 ($\Gamma_d = 9,47$) при $T = 4$ в красной области спектра. В скобках указаны соответствующие коэффициенты асимметрии аэрозольной индикатрисы. Кроме того, в пределах каждого спектрального участка нами были осуществлены вариации аэрозольной индикатрисы за счет изменения соотношений между фракциями частиц. Так, вклад ядер Айткена изменялся от 15 до 25%, субмикронных частиц — от 60 до 70%, а грубодисперсных — от 25 до 55%. Результаты расчетов τ''_d с учетом таких вариаций спектров частиц представлены на том же рис. 3. Эти вариации приводят к некоторому дополнительному разбросу точек, не меняя картины в целом. Среднеквадратические отклонения τ''_d от τ_d для всех рассмотренных случаев при доверительной вероятности 0,95 составляют 2,8% ($\lambda = 0,4 \text{ мкм}$), 3,4% ($\lambda = 0,55 \text{ мкм}$) и 4% ($\lambda = 0,65 \text{ мкм}$).

Таким образом, соотношения (4) и (9) позволяют определять из наблюдений абсолютных индикаторов яркости $f(\phi)$ аэрозольную оптическую толщу рассеяния с вполне приемлемой для практики точностью. Границы применимости метода таковы:

$$0,09 \leq \tau_d \leq 0,4; \quad 2 \leq \sec Z_0 \leq 5; \quad 0,4 \leq \lambda \leq 0,65 \text{ мкм}.$$

- Лившиц Г. Ш., Павлов В. Е. //Атмосферная оптика. М.: Наука, 1968. С. 59.
- Пясковская-Фесенкова Е. В. Исследование рассеяния света в земной атмосфере. М.: Изд-во АН СССР, 1957. 219 с.
- Лившиц Г. Ш. Рассеяние света в атмосфере. Алма-Ата: Наука, 1965. 177 с.
- Назаралиев М. А., Павлов В. Е. //Изв. АН СССР. Сер. ФАО. 1979. Т. 15. № 6. С. 619.
- Розенберг Г. В., Горчаков Г. П., Георгиевский Ю. С., Любовцева Ю. С. //Физика атмосферы и проблемы климата. М.: Наука, 1980. С. 216.
- Антиюфеев В. С., Иванов А. И., Лившиц Г. Ш., Михайлов Г. А. // Изв. АН СССР. Сер. ФАО. 1980. Т. 16. № 2. С. 146.
- Яновицкий Э. Г., Думанский З. О. Таблицы по рассеянию света полидисперсной системой сферических частиц. Киев: Наук. думка, 1972. 123 с.
- Мулдашев Т. З., Султангазин У. М. //ЖВМ и МФ. 1986. Т. 26. № 6. С. 882.

Институт математики и механики АН КазССР
Астрофизический институт им. акад. В. Г. Фесенкова АН КазССР,
Алма-Ата

Поступила в редакцию
5 июня 1989 г.

T. Z. Muldashev, V. E. Pavlov, Ya. A. Tejfel. On the Determination of the Atmospheric Optical Depth due to Aerosol Scattering from the Sky Brightness Measurements in the Visible Spectral Region.

The results of the numerical solution of the radiative transfer equation for the atmosphere containing the aerosol with three-modal particle sizes distribution are analyzed. The approximating formulae are derived for the determination of the aerosol optical depth from the observations of the absolute phase functions of the sky brightness.